

II - 14 弹性挾り後に曲げを受ける一様断面ばかりの弾塑性応力

九州大学 教授 山崎 徳也

” 大学院の太田 俊昭

I. 序言 一定の挾みモーメントが作用している一様断面の部材では一般に曲げに対して弾性限界の低下と完全塑性モーメントの減少が認められる。これは挾み応力すなわちせん断応力の影響を受けて断面の一部が通常の降伏応力の以下の値で降伏してしまう所に起因する。いま図-1(a)のとおりラーメンをとりだし、固定端CおよびAが地盤変化などの原因によってそれそれより方向に△Aだけずれ、柱BBに挾みモーメントTを生じたと仮定する。かかるとき図-1(b)のとおり自動車などの活荷重を受けて柱BBに新たに曲げモーメントMが加ければ、この柱は弾性範囲内のわざかなモーメントによるても降伏さらには崩壊してしまう恐れがある。本論文ではかくのとおり挾まれたのちに曲げを受けるはり構造物の弾塑性挙動を把握するため、その基礎段階としてまず挾みのせん断応力分布の影響を加味した曲げ応力分布を求め、これよりモーメントMと曲率φとの関係式を誘導し、加えてMとTの相関関係を求めるものである。

II. 理論的考察 一様矩形断面の部材が挾みモーメントT(≠0)を受ける場合挾み角をω、挾みの応力函数をXとい、座標(X, Y, Z)を図-2のとおり定めれば既往の研究より挾みの応力函数は $X = \omega G(a^2 - Y^2)$
またせん断力 T_{zx} , T_{zy} はそれぞれ次のように与えられる。ただし $\eta/b \ll 0$

$$T_{zx} = -\frac{\partial X}{\partial Y} - 2\omega G Y, \quad T_{zy} = \frac{\partial X}{\partial X} - 0 \quad (1)$$

$$\text{さてバーゲスの降伏条件式は } a^2 + 3(T_{zx}^2 + T_{zy}^2) = \sigma_y^2 \quad (2)$$

とあらわされるとゆえ上式に式(1)を代入すれば挾みのせん断応力の影響を考慮した新らしい曲げ降伏応力 σ_y の分布式が求められ次式となる。

$$\bar{\sigma}_y = \sigma_y \left\{ 1 - (\omega/\omega_s)^2 (Y/a)^2 \right\}^{1/2}$$

ここで挾みモーメントT(=WGJ)と降伏時の挾みモーメント $T_s (= \omega_s G J)$ の比Tとよぶべき媒介定数t(=T/T_s - ω/ω_s)を導入すれば上式は

$$\bar{\sigma}_y = \sigma_y \left\{ 1 - t^2 (Y/a)^2 \right\}^{1/2} \quad (3)$$

式(3)より降伏応力 σ_y は図-3のとおり半径をそれぞれの a より a/t とする積円で与えられる次のとおりとなる。

$$\bar{\sigma}_y^2 / \sigma_y^2 + Y^2 / (a/t)^2 = 1 \quad \text{ただし } |Y| \leq a$$

以上から漸増荷重に対する断面の総応力が $\sigma_e = M b / I < \min(\sigma_y, \sigma_y \sqrt{1-t^2})$ であれば断面の応力はまだ降伏に至っておらず、したがって M と φ との関係は弾性のそれであり Hooke's Law によって $M = EI\phi$ となる。

一方 $\sigma_e \geq \sigma_y \sqrt{1-t^2}$ となるば式(3)より明らかに断面の一部には塑性領域が発生する。この場合弾性領域と塑性領域との境界は弾性応力 $\sigma_e = \sigma_y / t$ と降伏応力 σ_y を等置すれば直ちに求められ $X^2 / (b\sigma_y / \sigma_e)^2 + Y^2 / (a/t)^2 = 1$ なる積円で与えられる。(E かつて弾塑性時の応力状態を図-4

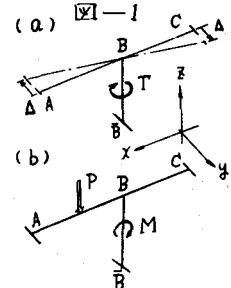


図-2

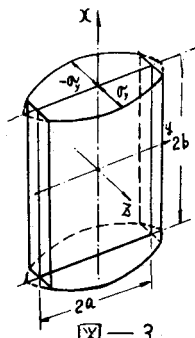
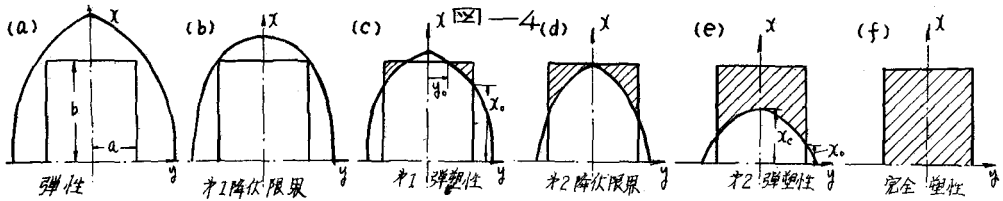


図-3

(c), (e) のように応力状態1(オイ1 弹塑性)と応力状態2(オイ2 弹塑性)とに分けて考察すればそれぞれ以下のようになる。



(1)応力状態1(オイ1 弹塑性),(図-5参照);

図-5より縁応力 σ_e と正 E_e との間には

$$\epsilon_e = \sigma_e/E_e = \phi b \quad (4)$$

また図-4(c)の x_0, y_0 のうち x_0 は図-6のAPQRとAOABの相似条件より決定され次のようになる。

$$\text{すなはち } x_0 : b = \sigma_e \sqrt{1-t^2} : \sigma_e, \quad x_0/b = \sqrt{1-t^2}/\phi \quad (5)$$

一方の y_0 は縁に沿って $\sigma_e = \sigma_p$ なる境界条件より定められ $y_0/b = \sqrt{1-\phi^2}/t$ (6) たゞ $t > \phi = \phi/\phi$

したがって弾性および塑性領域の応力 σ_e および σ_p はそれぞれ $\sigma_e = E\phi X$, $\sigma_p = \phi \sqrt{1-t^2}/\phi$ と表わすことができる。この場合の塑性境界は下記の椭円の方程式で与えられる。

$$X^2/(E\phi)^2 + Y^2/(t\phi)^2 = 1 \quad (7)$$

以上から応力状態は図-5の(i)となり斜線部分が降伏応力 σ_y に相当し、いわゆる塑性領域を形成するといふこととなる。よってかかる応力分布に対応する断面の曲げモーメントMは

$$\begin{aligned} \frac{1}{4}M &= \int_{y_0}^{y_0} \int_x^b \sigma_e X dx dy + \int_{y_0}^a \int_x^b \sigma_e X dx dy + \int_{y_0}^a \int_x^b \sigma_p X dx dy \\ &= \int_{y_0}^{y_0} \int_x^b E\phi X^2 dx dy + \int_{y_0}^a \int_x^b E\phi X^2 dx dy + \int_{y_0}^a \sigma_p \sqrt{1-t^2} \int_x^b X dx dy \end{aligned}$$

上式に(4)~(7)を代入して整理すれば所要のモーメント式が次式でえられる。

$$M = \{ a_1 - a_1 t \phi + a_2 (2\phi \sqrt{1-\phi^2} + \sqrt{1-\phi^2}/\phi + \sin^{-1}\sqrt{1-\phi^2}/\phi - 4\sin^{-1}\sqrt{1-\phi^2}) \} M_y \quad (8)$$

$$\text{ここで } a_1 = \frac{3}{4}(\sqrt{1-t^2} + \sin^{-1}t/t)$$

$$a_2 = \frac{1}{16}(2(1-t^2)^{\frac{3}{2}} + 3\sqrt{1-t^2} + 3\sin^{-1}t/t)$$

$$a_3 = \frac{3}{16}t$$

$M_y = \frac{4}{3}\phi ab^2$: 梱りモーメントを考慮しないで曲げたばかりの場合の降伏モーメントをあらわす。

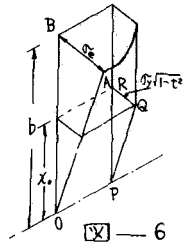
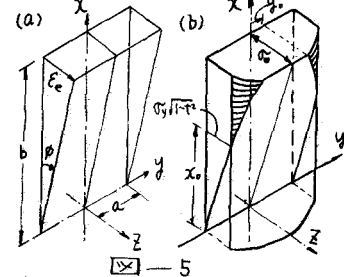
式(8)における $\phi = \sqrt{1-t^2}$ とおけば図-4(c)で示された応力状態のモーメントいわゆるオイ1 降伏モーメント M_{yz} をえ、次の値となる。

$$M_{yz} = \sqrt{1-t^2} M_y \quad (9)$$

さらば $t = 1$ とおけば同じく図-4(c)のオイ2 降伏モーメント M_{yx} をえ、次式となる。

$$M_{yx} = \frac{1}{16} \{ 9\sin^{-1}t/t + 9(1-t^2)^{\frac{1}{2}} - 2(1-t^2)^{\frac{3}{2}} \} M_y \quad (10)$$

明らかに M_{yz} と M_{yx} とはそれぞれMの下限と上限を意味する。式(8)のMの有効範囲は以下の



式とみなす。 $M_{yx} \leq M \leq M_{y\pi}$, $\sqrt{1-t^2} \leq \phi \leq 1$ たゞ ϕ は曲げモーメントが単独に加わる降伏曲率

(2)応力状態2(モード2弾塑性)(図-7参照)：

図-7より $y=0$, $x=X_c$ における応力および正はそれそれ降伏応力 σ_y および降伏歪 ϵ_y に等しいこれにて次式が成立する。

$$\sigma_y/E = \epsilon_y = \phi X_c \quad (11)$$

また図-4(e)の X_0 は II. (1) と同様相似条件より

$$X_0 = X_c \sqrt{1-t^2} \quad (12)$$

さらに弾性および塑性領域における応力分布

ならびに弾塑性境界もまた同様にしてそれぞれ次の式で与えられる。

$$\sigma_E = E\phi X, \quad \sigma_p = \sigma_y \sqrt{1-t^2}/\alpha_w^2, \quad x^2/(b(\phi))^2 + y^2/(a(t))^2 = 1 \quad (13)$$

よって応力状態2に対する曲げ応力分布は図-7(b)のとおり、斜線部は降伏応力 σ_y をもつものである。またかかる応力分布によつて生ずる断面の曲げモーメント M は

$$\begin{aligned} \frac{1}{4}M &= \int_0^a \int_x^X \sigma_E x dx dy + \int_0^a \int_x^b \sigma_p x dx dy \\ &= \int_0^a \int_x^X E\phi X^2 dx dy + \int_0^a \sigma_y \sqrt{1-t^2}/\alpha_w^2 \int_x^b x dx dy \end{aligned}$$

上式に式(11), (12), (13)を代入して整理すれば所要のモーメント式を次のようにする。

$$M = (a_t - a_e/\phi^2) M_y \quad (14)$$

こゝで $\phi \rightarrow \infty$ とすれば 図-4(f) に相当する完全塑性モーメント M_{pt} が下記の式で与えられる。

$$M_{pt} = a_e M_y = \frac{3}{4} \{ \sqrt{1-t^2} + \sin^{-1} t/t \} M_y \quad (15)$$

また式(14)の有効範囲は次のとおりである。

$$M_{y\pi} \leq M \leq M_{pt} \quad (16)$$

以上から M/M_y と $\phi = \psi/\phi$ との関係を $t = w/w_y$ をパラメータとして図示すれば図-8のとくなり、 $t=0.5$ 以上の値に対して弾性限界が著しく低下することが判読される。なお図中の実線で示される曲線は $w > w_y$ の場合で $t > 1$ なる弾塑性挙動が当初仮定した $M/M_y - \phi$ 曲線を表したもので、式の説明はこゝでは省略する。

次にそれそれ式(9), (10)および(16)で定義されるモード1降伏。

モード2降伏および完全塑性モーメントを同じく $t = w/w_y$ をパラメータとして図-9に示す。 $t \geq 1$ の範囲では M_{pt}/M_y および $M_{y\pi}/M_y$ は $t \geq 1$ に反比例して減少する。

中で M_{pt} の値は $t=1.2$ の近傍で降伏モーメント M_y より低下することが認められ。

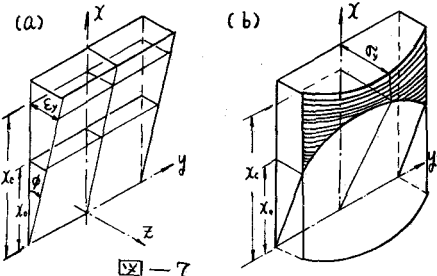
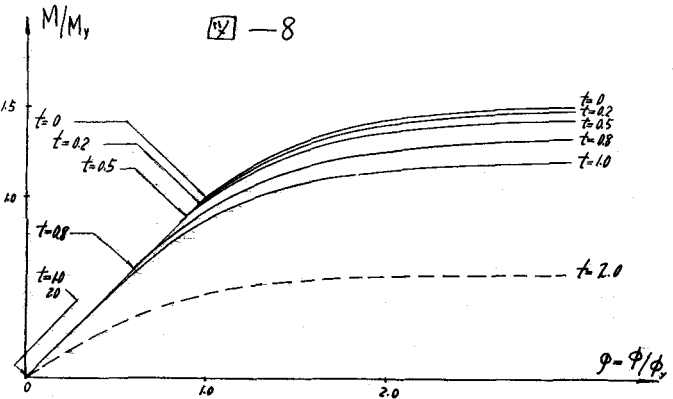


図-7



また図-10は M と T との相関関係を求めたもので、曲線(Ⅰ)は弾性限界を、曲線(Ⅲ)はオ1弾塑性とオ2弾塑性との境界をそれぞれ表わし、さらには曲線(Ⅳ)は完全塑性に達したときの M と T とのいわゆる相互作用曲線をもつものである。

さて Steele⁽²⁾ および山田氏⁽³⁾

が導いた曲げと捩りを受けた一構矩形断面ばりの M - T 相互作用曲線と曲線(Ⅳ)とを比較すれば、両者とも円上非常に近く、しかしながら大きければ曲率も大となるなどの類似点が挙げられるが、前者は剛塑性体と仮定して最終の完全塑性状態のみに着目した解であり、途中の弾性ならびに弾塑性状態は無視しており、したがって適用範囲はわずかに塑性解析に限られる。

III 結び

以上の結果を要約すれば、オ1に一定の捩りモーメント T を受けた一構矩形断面ばりの曲げモーメントと曲率の関係式を完全塑性に達する全段階において求めうること、オ2に図-10に示した $M/M_y - T/T_y$ 曲線のうち曲線(Ⅳ)は塑性解析に重要な相互作用曲線として使用で

き、さらに曲線(Ⅰ)および(Ⅲ)はそれそれ弾塑性解析において必要な境界決定の条件式となりうこと、オ3に先に著者らが誘導した曲げに対する補足歪エネルギーの実用式⁽⁴⁾と同様な手法で、式(8)および(14)を補足歪エネルギーの一般式 dV/ds に適用すれば、かかる組合せ応力に対する補足エネルギー法が同様に可能となり立体骨組の弾塑性解析に拡張適用うることとなるなどが挙げられる。

(参考文献)

- (1) 山崎・太田、弾塑性捩りの補足エネルギーに対する実用式、第20回土木学会年次学術講演会講演概要、昭和40年5月
- (2) M.C.Steele, The Plastic Bending and Twisting of Square Section Members, J. Mech. Phys. Solids, Vol.3, 1955
- (3) 山田嘉昭、塑性力学、日刊工業新聞社 昭和40年1月
- (4) 山崎・太田、塑性解析に拡張したエネルギー法、第19回土木学会年次学術講演会講演概要、昭和39年5月

